



Universidad
Carlos III de Madrid
www.uc3m.es

TEMA 2: **INTERFEROMETRIA**

FOTONICA

Grado en Ingeniería en Tecnologías de
Telecomunicación

1.-FENOMENOS INTERFERENCIALES DE 2 ONDAS

2.-INTERFEROMETROS DE DIVISION DE FRENTE DE ONDA

3.-INTERFEROMETROS DE DIVISION DE AMPLITUD

3.1.-Interferómetro de Michelson

3.2.-Interferómetro de Mach-Zehnder

4.-INTERFEROMETROS DE ONDAS MULTIPLES

4.1.-Interferómetro de Fabry-Perot

1.-FENOMENOS INTERFERENCIALES DE 2 ONDAS

Sean 2 Campos Electromagnéticos que interfieren en el punto P (ver Figura 2.1):

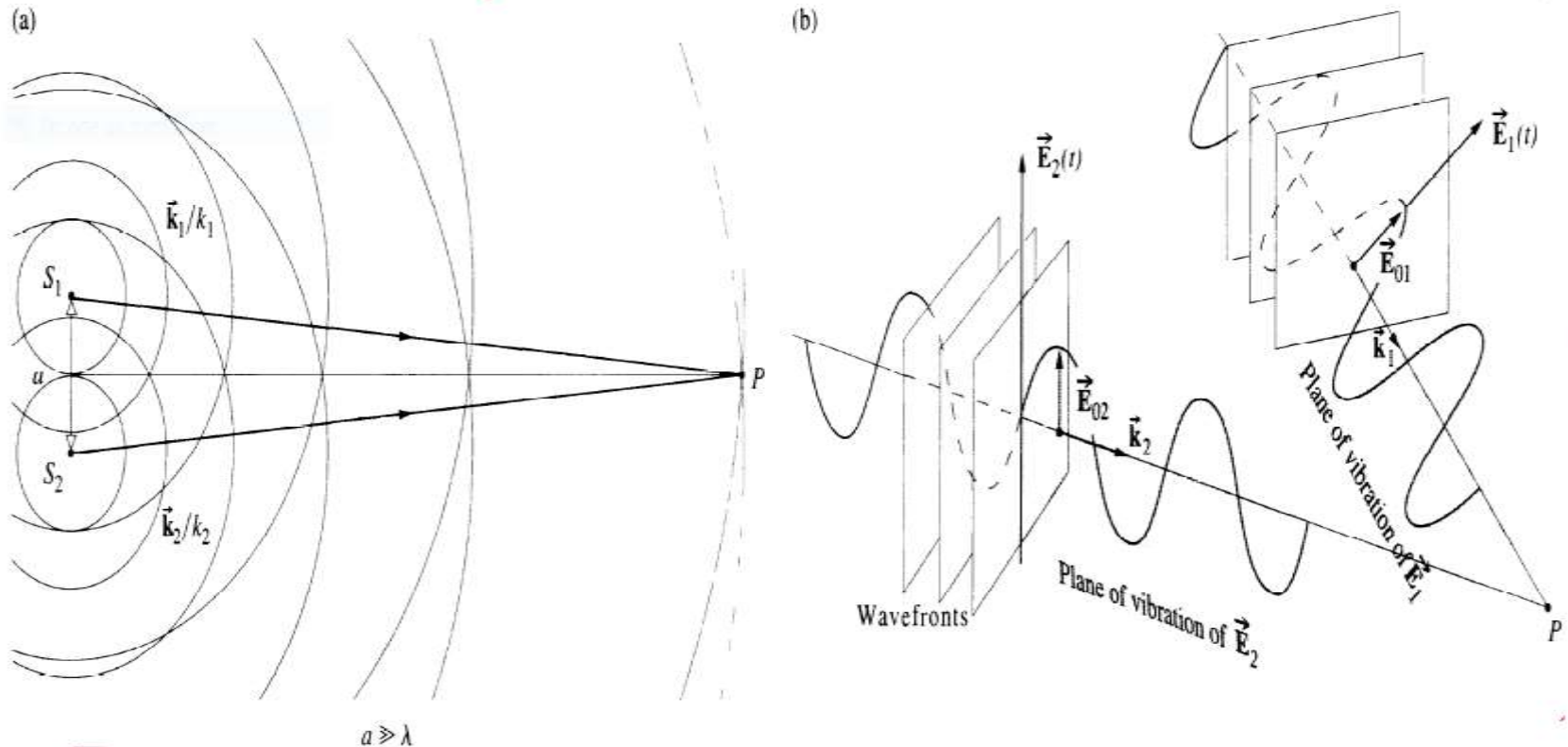


Figura 2.1.-Los 2 Frentes de onda E_1 y E_2 partiendo de los 2 Puntos Fuente S_1 y S_2 interfiriendo en el punto P.

En consecuencia, tenemos como suma de los Campos Electromagnéticos E_1 y E_2 en el Punto P según la Figura 2.1:

$$\begin{cases} \vec{E}_1(\vec{r}_1, t) = E_{01} \cos\left(\vec{K}_1 \vec{r}_1 - \omega t + \varepsilon_1\right) \\ \vec{E}_2(\vec{r}_2, t) = E_{02} \cos\left(\vec{K}_2 \vec{r}_2 - \omega t + \varepsilon_2\right) \end{cases} \Rightarrow \vec{E}(\vec{r}, t) = \vec{E}_1(\vec{r}, t) + \vec{E}_2(\vec{r}, t)$$

Si medimos la irradiancia, podemos decir que: $I = \langle \vec{E}^2 \rangle$ dado que nos interesan los campos rápidos para que la energía sea grande $E = h\nu$

Por tanto,

$$\vec{E}^2 = \vec{E} \cdot \vec{E} = \vec{E}_1^2 + \vec{E}_2^2 + 2 \vec{E}_1 \cdot \vec{E}_2$$

$$I = \langle \vec{E} \rangle = \langle \vec{E}_1^2 \rangle + \langle \vec{E}_2^2 \rangle + \langle 2 \vec{E}_1 \vec{E}_2 \rangle = I_1 + I_2 + I_{12}$$

Donde el término de interferencia es $I_{12} = \langle 2 \vec{E}_1 \vec{E}_2 \rangle$

Desarrollando los factores:

$$\begin{aligned} \vec{E}_1 \cdot \vec{E}_2 &= \vec{E}_{01} \cdot \vec{E}_{02} \cos\left(\vec{K}_1 \vec{r}_1 - \omega t + \varepsilon_1\right) \cos\left(\vec{K}_2 \vec{r}_2 - \omega t + \varepsilon_2\right) = \\ &= \vec{E}_{01} \cdot \vec{E}_{02} \left[\cos\left(\vec{K}_1 \vec{r}_1 + \varepsilon_1\right) \cos(\omega t) + \sin\left(\vec{K}_1 \vec{r}_1 + \varepsilon_1\right) \sin(\omega t) \right] \cdot \\ &\quad \left[\cos\left(\vec{K}_2 \vec{r}_2 + \varepsilon_2\right) \cos(\omega t) + \sin\left(\vec{K}_2 \vec{r}_2 + \varepsilon_2\right) \sin(\omega t) \right] = \end{aligned}$$

$$\begin{aligned}
 &= \vec{E}_{01} \cdot \vec{E}_{02} \left[\cos \left(\vec{K}_1 \vec{r}_1 + \varepsilon_1 \right) \cos \left(\vec{K}_2 \vec{r}_2 + \varepsilon_2 \right) \cos^2(\omega t) + \right. \\
 &+ \cos \left(\vec{K}_1 \vec{r}_1 + \varepsilon_1 \right) \sin \left(\vec{K}_2 \vec{r}_2 + \varepsilon_2 \right) \cos(\omega t) \sin(\omega t) + \sin \left(\vec{K}_1 \vec{r}_1 + \varepsilon_1 \right) \cos \left(\vec{K}_2 \vec{r}_2 + \varepsilon_2 \right) \sin(\omega t) \cos(\omega t) + \\
 &\left. + \sin \left(\vec{K}_1 \vec{r}_1 + \varepsilon_1 \right) \sin \left(\vec{K}_2 \vec{r}_2 + \varepsilon_2 \right) \sin^2(\omega t) \right]
 \end{aligned}$$

Teniendo en cuenta que:

$$\langle \cos(\omega t) \sin(\omega t) \rangle = 0$$

$$\langle \cos^2(\omega t) \rangle = 1/2$$

$$\langle \sin^2(\omega t) \rangle = 1/2$$

Nos queda:

$$I_{12} = \langle \vec{E}_1 \cdot \vec{E}_2 \rangle = \frac{1}{2} \vec{E}_{01} \cdot \vec{E}_{02} \left[\cos \left(\vec{K}_1 \vec{r}_1 + \varepsilon_1 \right) \cos \left(\vec{K}_2 \vec{r}_2 + \varepsilon_2 \right) + \sin \left(\vec{K}_1 \vec{r}_1 + \varepsilon_1 \right) \sin \left(\vec{K}_2 \vec{r}_2 + \varepsilon_2 \right) \right] =$$

$$= \frac{1}{2} \vec{E}_{01} \cdot \vec{E}_{02} \cos \left(\vec{K}_1 \vec{r}_1 + \varepsilon_1 - \vec{K}_2 \vec{r}_2 - \varepsilon_2 \right)$$

Sabiendo que:

$$I_1 = \frac{E_{01}^2}{2}$$

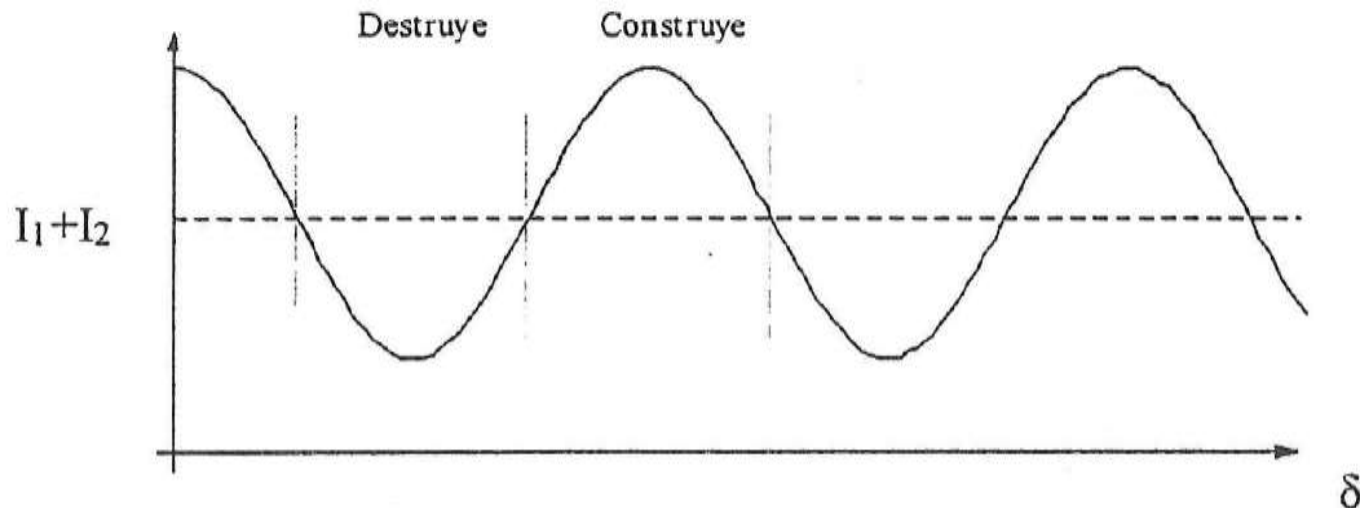
$$I_2 = \frac{E_{02}^2}{2}$$

Obtenemos:

$$\boxed{I = I_1 + I_2 + 2\sqrt{I_1 I_2} \cos(\delta)}$$
, donde $\delta = \underbrace{\vec{K}_1 \vec{r}_1 - \vec{K}_2 \vec{r}_2}_{(1)} + \underbrace{(\varepsilon_1 - \varepsilon_2)}_{(2)}$

Donde (1) es la diferencia del camino óptico y (2) es la diferencia de fase.

Vamos a analizar este resultado:



Tipos de interferencias:

δ	$\cos(\delta)$	
0	1	Totalmente Constructiva
$\pi/2$	0	
π	-1	Totalmente Destructiva
$3\pi/2$	0	
2π	1	Totalmente Constructiva

Entonces la irradiancia quedará:

i) Totalmente constructiva: $I = I_1 + I_2 + 2\sqrt{I_1 I_2} \cos(\delta) \quad \delta=0, 2\pi, 4\pi, \dots$

ii) Totalmente destructiva: $I = I_1 + I_2 - 2\sqrt{I_1 I_2} \cos(\delta) \quad \delta=\pi, 3\pi, 5\pi, \dots$

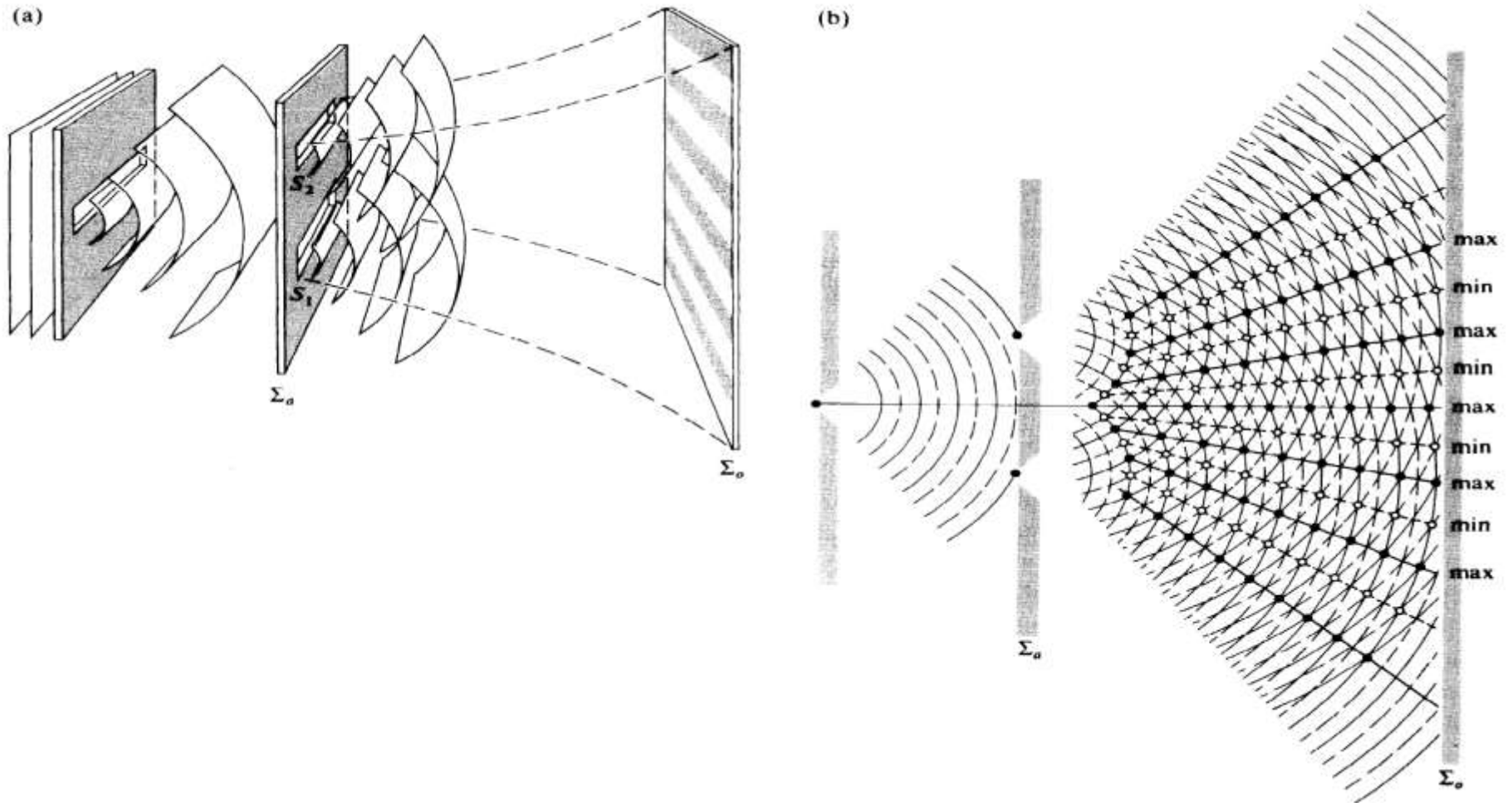
Un caso particular es cuando $E_{01}=E_{02}$ y $K_1=K_2$, tendremos:

$$I = I_0 + I_0 + 2\sqrt{I_0 I_0} \cos(\delta) = 4I_0 \cos^2\left(\frac{\delta}{2}\right)$$

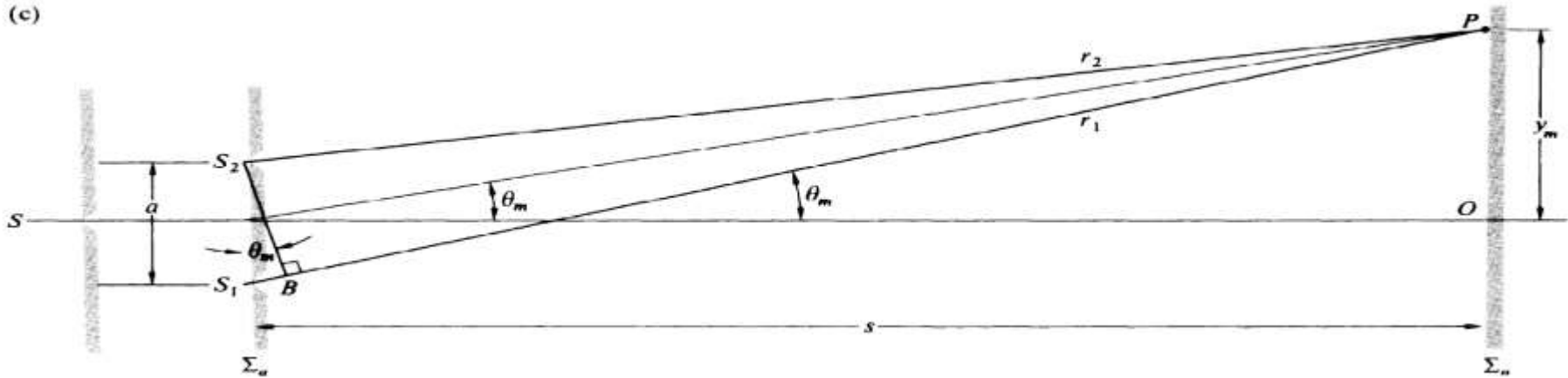
$$\delta = \vec{K}_1 \vec{r}_1 - \vec{K}_2 \vec{r}_2 + (\varepsilon_1 - \varepsilon_2) = K(r_1 - r_2) + (\varepsilon_1 - \varepsilon_2)$$

2.-INTERFEROMETROS DE DIVISION DE FRENTE DE ONDA

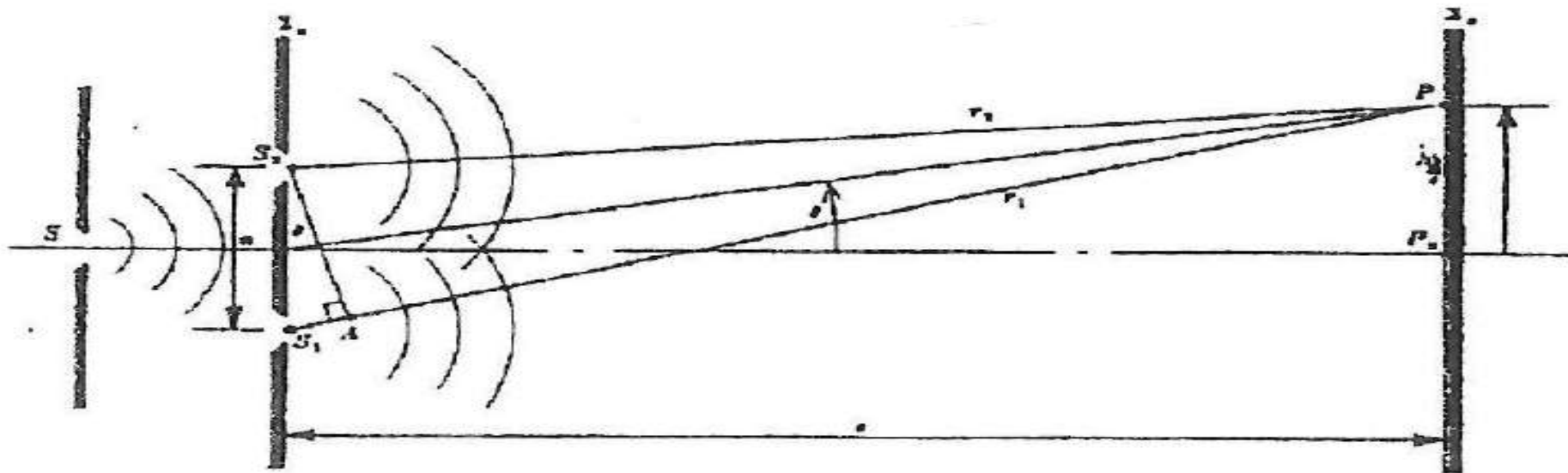
2.1.-Interferómetro de Young



(c)



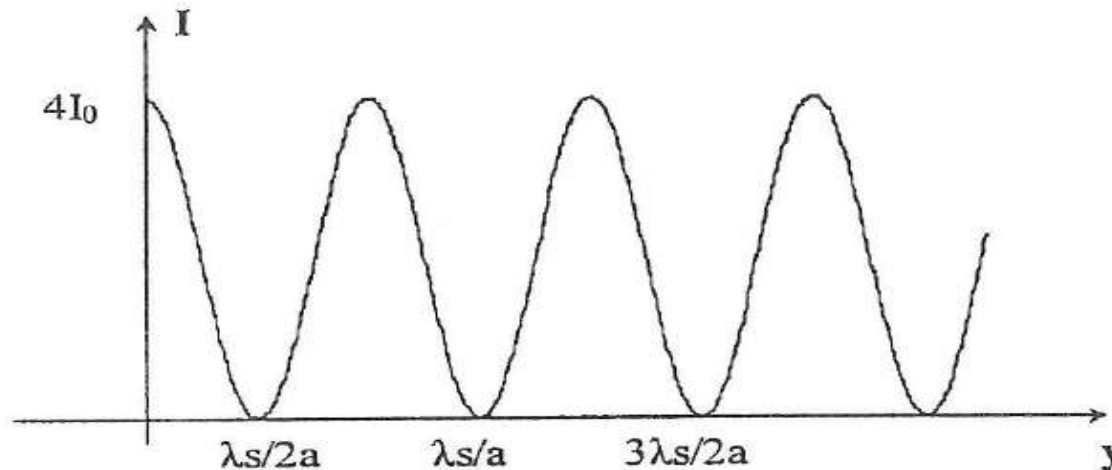
2.1.a-Generación de Interferencias de Young mediante Frentes de Onda Esféricos



En este caso, $\varepsilon_1 = \varepsilon_2 = 0$ entonces $\delta = K(r_1 - r_2)$

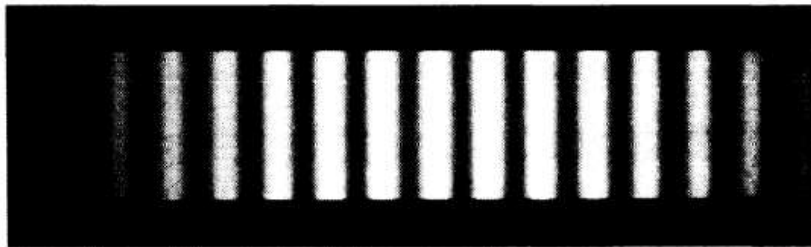
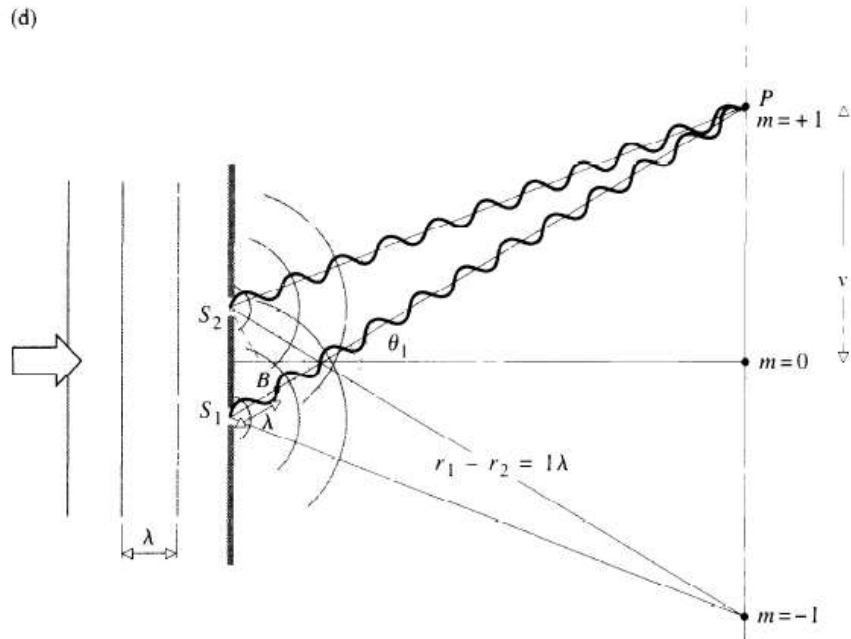
Como el ángulo θ es muy pequeño $\sin \theta \approx \theta$. Entonces:

$$\left. \begin{array}{l} \tan(\theta) = \frac{y}{s} \approx \theta \\ \sin(\theta) = \frac{r_1 - r_2}{a} \approx \theta \end{array} \right\} \Rightarrow r_1 - r_2 = \frac{ay}{s} \Rightarrow \boxed{I = 4I_0 \cos^2\left(\frac{\pi ay}{\lambda s}\right)}$$

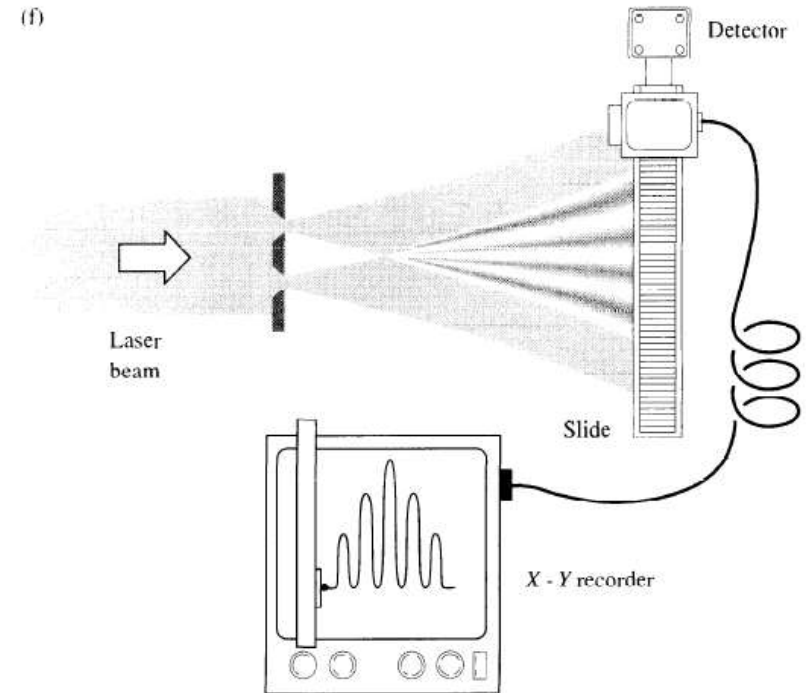


Se observa que la distancia entre dos máximos es: $\Delta y = s\lambda/a$

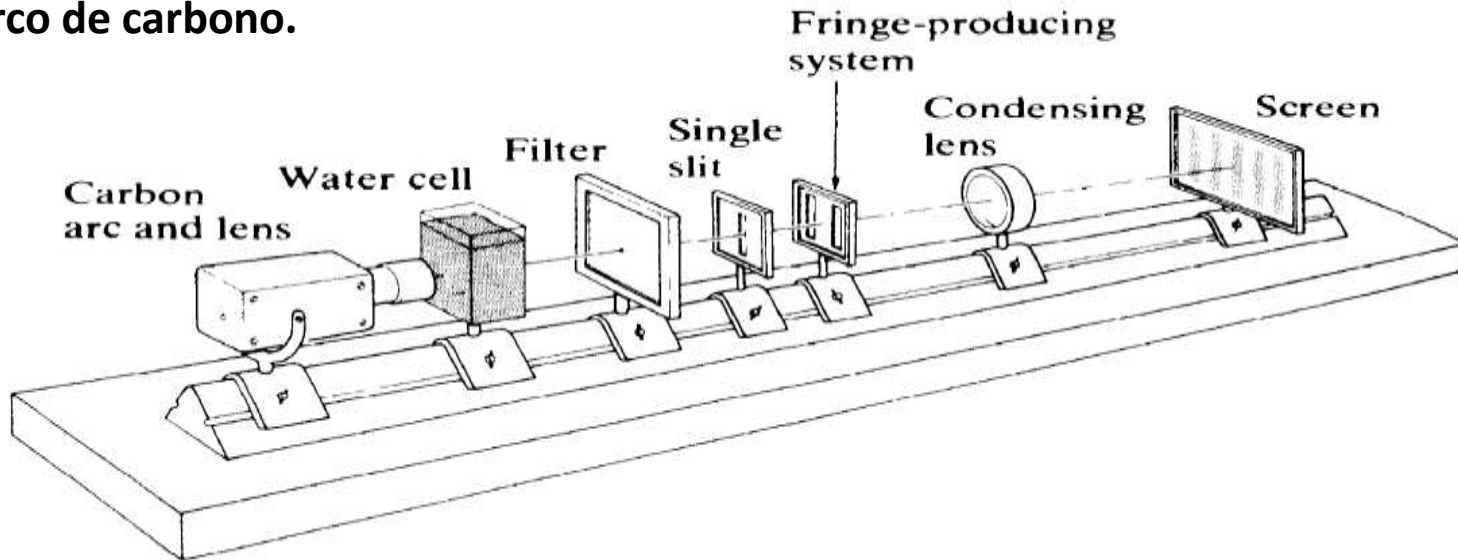
2.1.b-Generación de Interferencias de Young mediante Frentes de Onda Planos



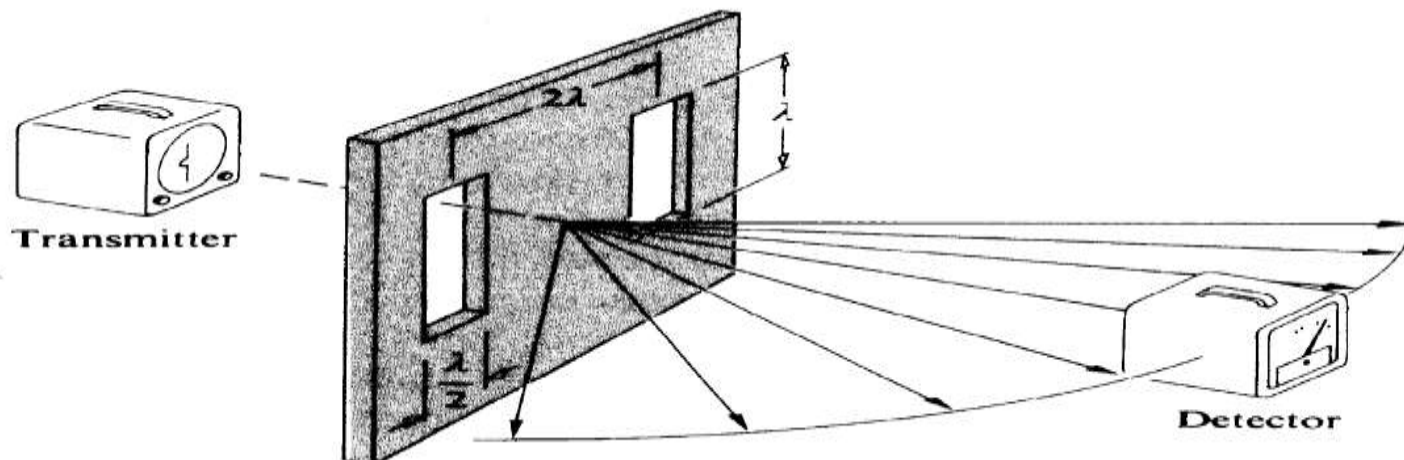
(e)



2.1.c-Setup para estudiar las Interferencias de Young mediante una lámpara de arco de carbono.

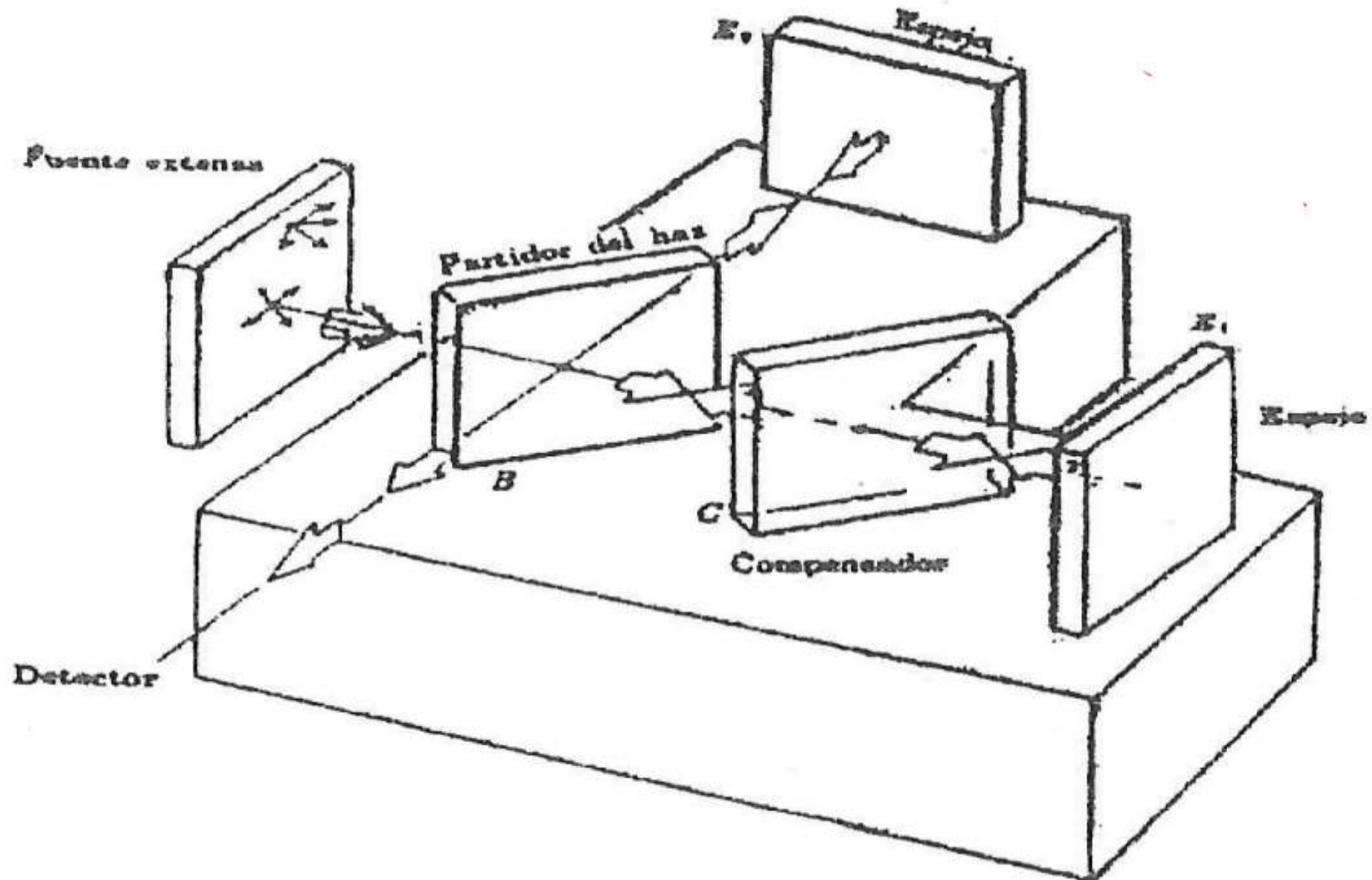


2.1.d-Interferferómetro de Young de Microondas.



3.-INTERFEROMETROS DE DIVISION DE AMPLITUD

3.1.-Interferómetro de Michelson



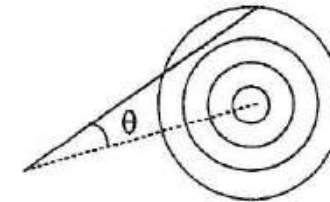
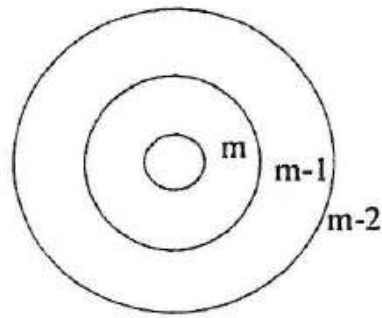
$$\delta = K(2d \cos \theta) - \pi \quad \text{donde } d \text{ es la diferencia de caminos.}$$

Los máximos de la irradiancia se encontrarán en $\delta = m2\pi$ para $m=0,1,2,\dots$, y los mínimos en $\delta = m\pi$ para $m=1,3,5,\dots$. Por tanto, sustituyendo en la expresión de delta, obtenemos:

$$\text{MÍNIMOS: } \lambda(m+1) = 2d \cos \theta \quad \text{para } m = 1,3,5,\dots$$

$$\text{MÁXIMOS: } \lambda(2m+1) = 2d \cos \theta \quad \text{para } m = 0,1,2,\dots$$

Lo que veremos en la pantalla serán una serie de anillos que se mueven al variar la distancia entre espejos. Se crean nuevos anillos por fuera y se “cuelan” por el centro.



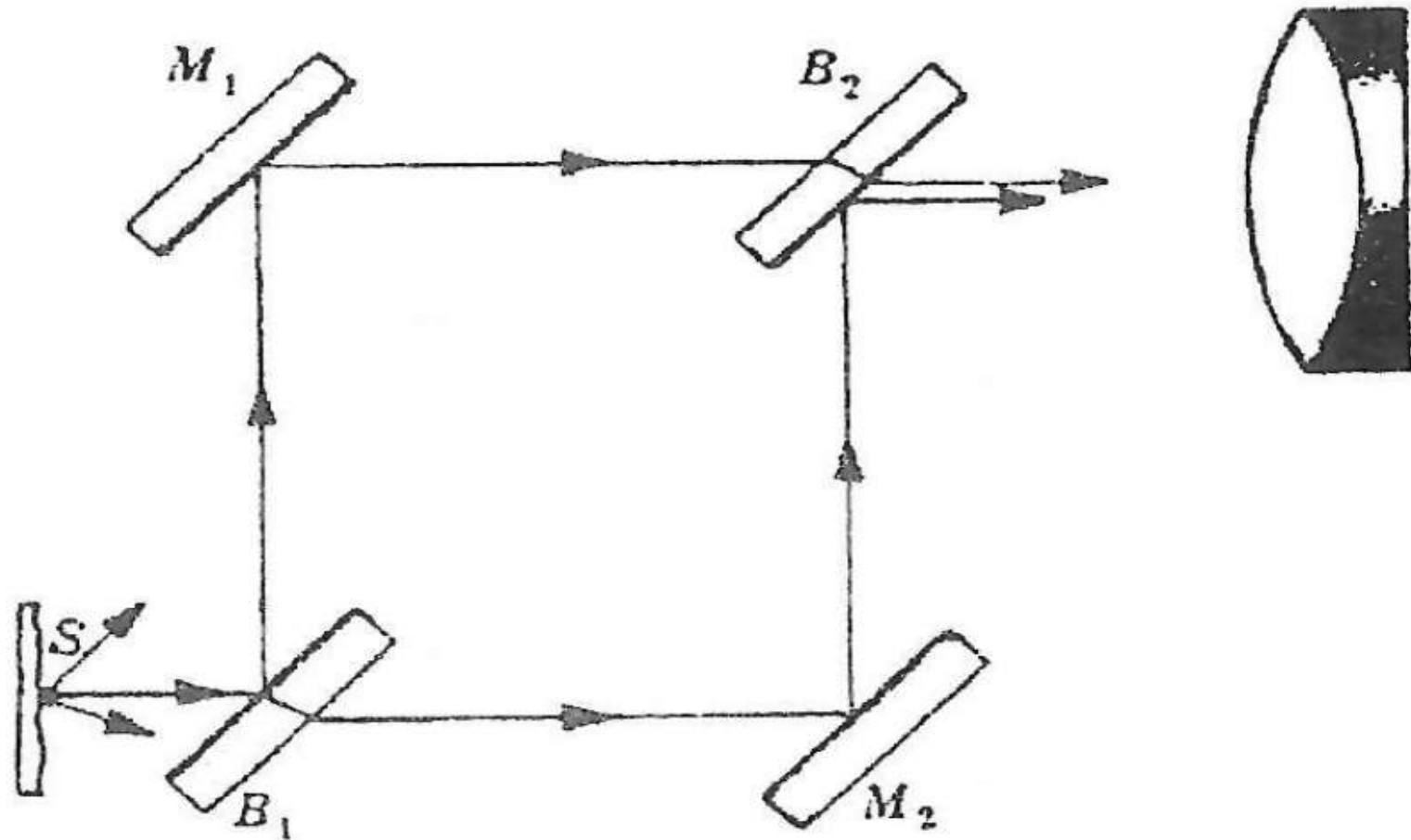
¿Cuánto tenemos que variar la distancia d para que el anillo $m-1$ se mueva hasta m ?

$$\begin{cases} 2d \cos \theta_{m-1} = (m-1)\lambda \Rightarrow \cos \theta_{m-1} = \frac{(m-1)\lambda}{2d} \\ 2(d + \Delta d) \cos \theta_m = m\lambda \Rightarrow \cos \theta_m = \frac{m\lambda}{2(d + \Delta d)} \end{cases}$$

Los ángulos deben ser iguales, por tanto, si restamos las dos ecuaciones resulta:

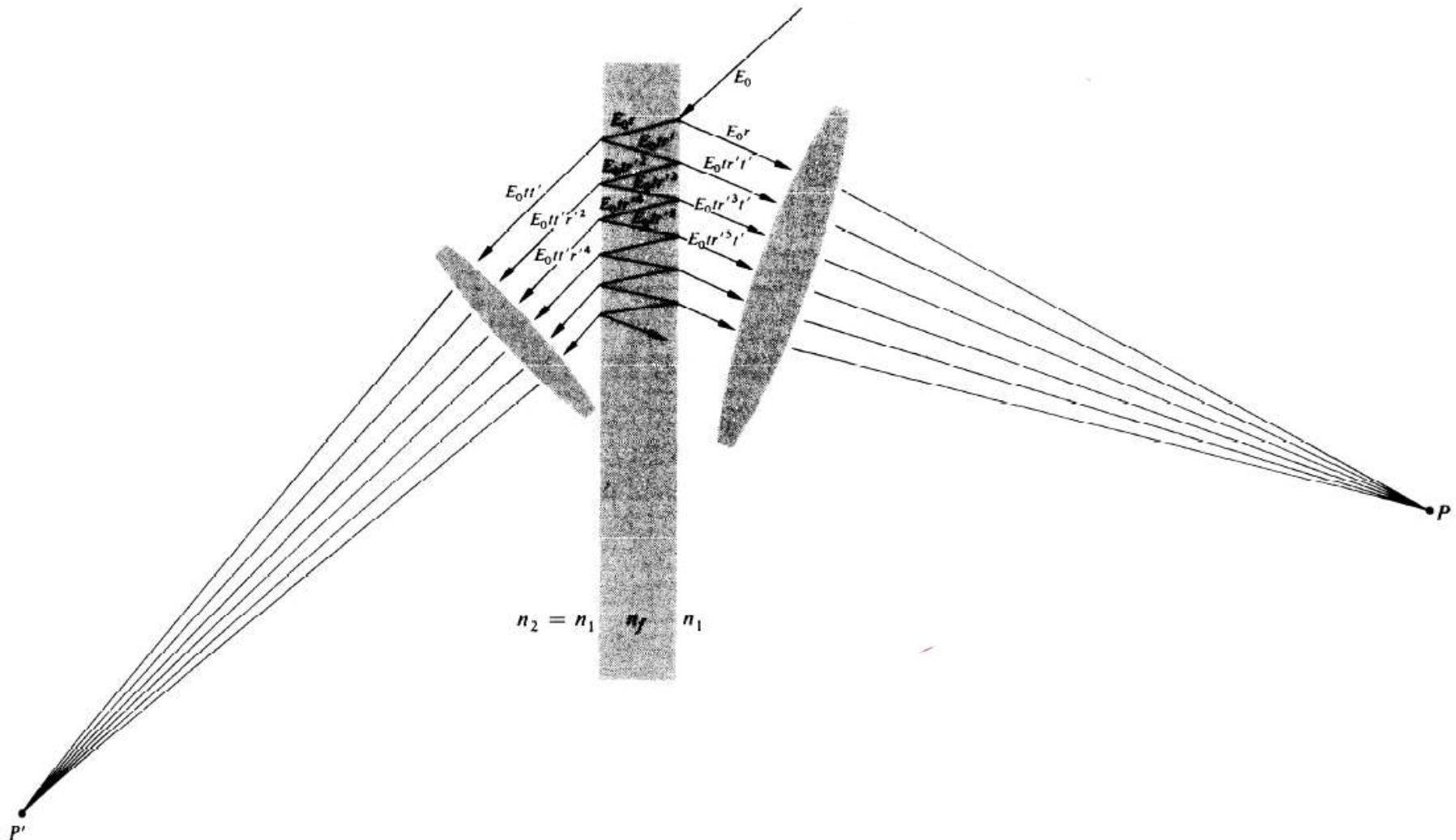
$$\boxed{\Delta d = \frac{\lambda}{2} N} \text{ donde } N \text{ es el número de anillos que pasan.}$$

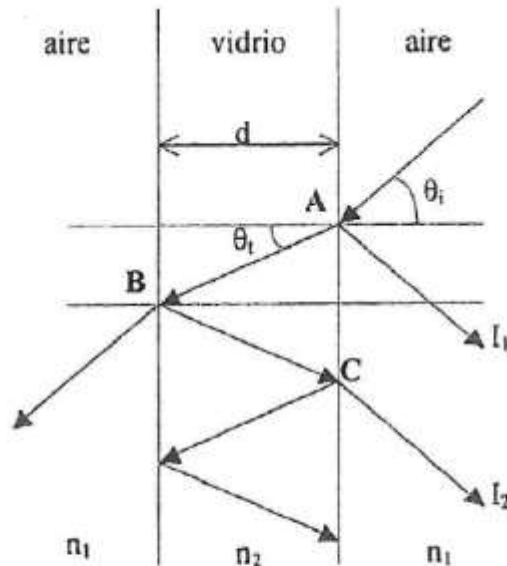
3.2.-Interferómetro de Mach-Zehnder



4.-INTERFEROMETROS DE ONDAS MULTIPLES

4.1.-Interferómetro de Fabry-Perot: Es un Interferómetro de Ondas Múltiples





En este caso podemos controlar la distancia entre las placas y/o el índice de refracción en el interior.

Vamos a ver cuál es el desfase entre I_1 e I_2

$$\delta = Kx_2 - Kx_1 = K(n_2x_2 - n_1x_1) =$$

$$\zeta = n_2(\overline{AB} + \overline{BC}) - n_1\overline{AD} = n_2 \frac{2d}{\cos(\theta_t)} - n_1 \frac{2d \sin^2(\theta_t)}{\cos(\theta_t)} = n_2 \frac{2d}{\cos(\theta_t)} (1 - \sin^2(\theta_t)) = n_2 2d \cos(\theta_t)$$

Partiendo de la expresión de la diferencia de fase tenemos:

$$\delta = Kx_2 - Kx_1 = K(n_2x_2 - n_1x_1) =$$

$$\zeta = n_2(\overline{AB} + \overline{BC}) - n_1\overline{AD} = n_2 \frac{2d}{\cos(\theta_i)} - n_2 \frac{2d \sin^2(\theta_i)}{\cos(\theta_i)} = n_2 \frac{2d}{\cos(\theta_i)} (1 - \sin^2(\theta_i)) = n_2 2d \cos(\theta_i)$$

Para ángulos pequeños hay un cambio de fase en la reflexión de π :

$$\delta = \frac{4\pi n_2}{\lambda} d \cos(\theta_i) - \pi \rightarrow \boxed{\delta = \frac{4\pi d}{\lambda_0} (n_2^2 - n_1^2 \sin^2 \theta_i)^{1/2} - \pi}$$

Obteniendo como Resultado Final:

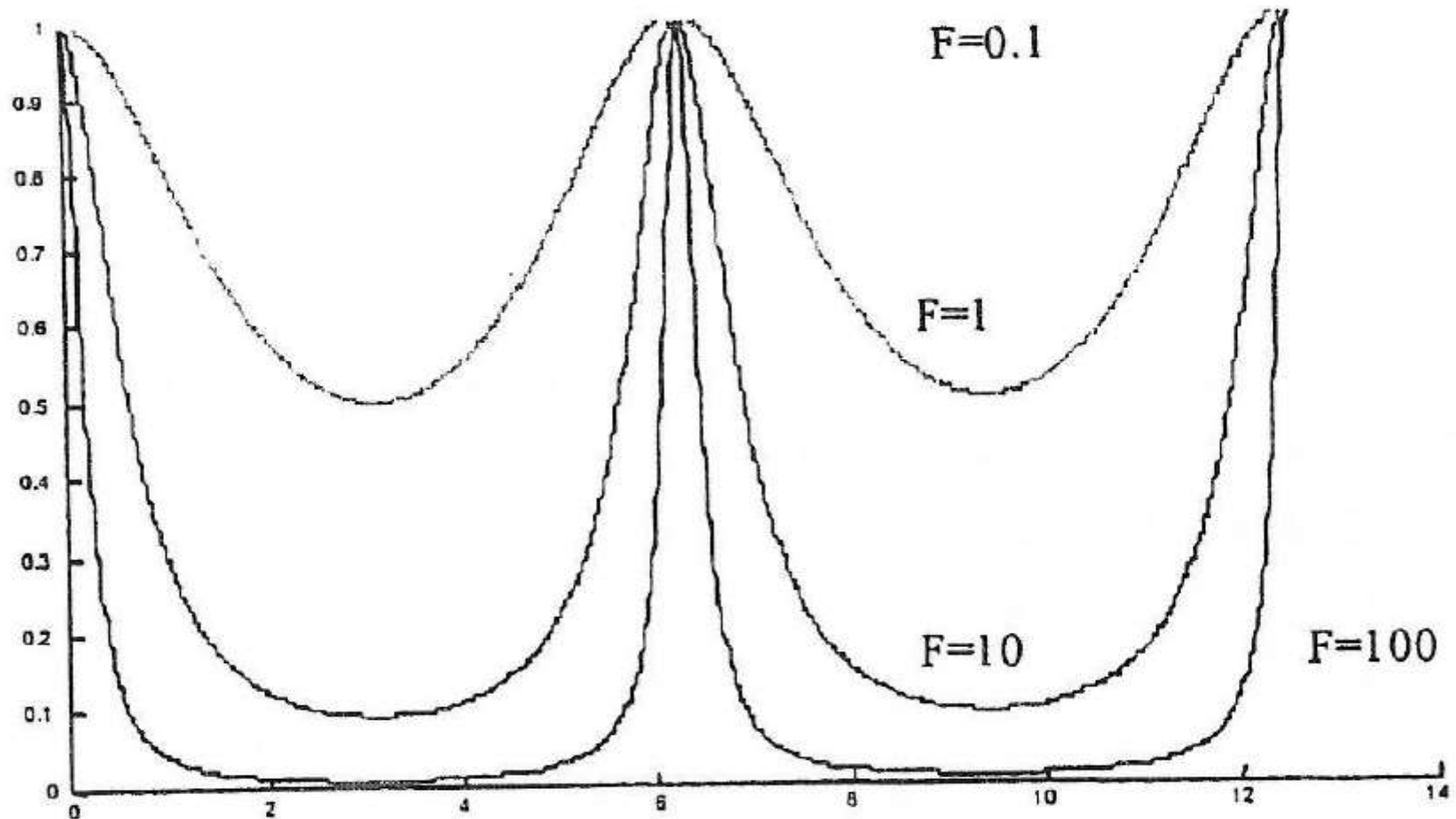
$$\frac{I_t}{I_i} = \frac{1}{1 + F \sin^2(\delta/2)} = A(\theta) \text{ función de Airy}$$
$$\frac{I_t}{I_i} = \frac{F \sin^2(\delta/2)}{1 + F \sin^2(\delta/2)} = 1 - A(\theta)$$

El factor F o factor de fuerza (Finesse) depende de la reflectividad de los espejos:

$$F = \left(\frac{2r}{1 - r^2} \right)^2$$

Si la reflectividad es muy alta, el factor F será grande, y hará que la función de transferencia I_t/I_i tenga unos picos muy estrechos. Variando su valor vemos cómo evoluciona la función:

Función de Airy como resultado de la Función de Transferencia del Interferómetro de Fabry-Perot en función de Factor de Finesse F :



Para caracterizar la Función de Transferencia del Interferómetro de Fabry-Perot empleamos la Anchura a -3Bs. En consecuencia, tenemos:

$$\frac{1}{1 + F \sin^2(\delta/2)} = \frac{1}{2} \rightarrow F \sin^2(\delta/2) = 1 \rightarrow \frac{\delta}{2} \approx \frac{1}{\sqrt{F}} \rightarrow \delta = \frac{2}{\sqrt{F}}$$

Siendo la Anchura de Pico:

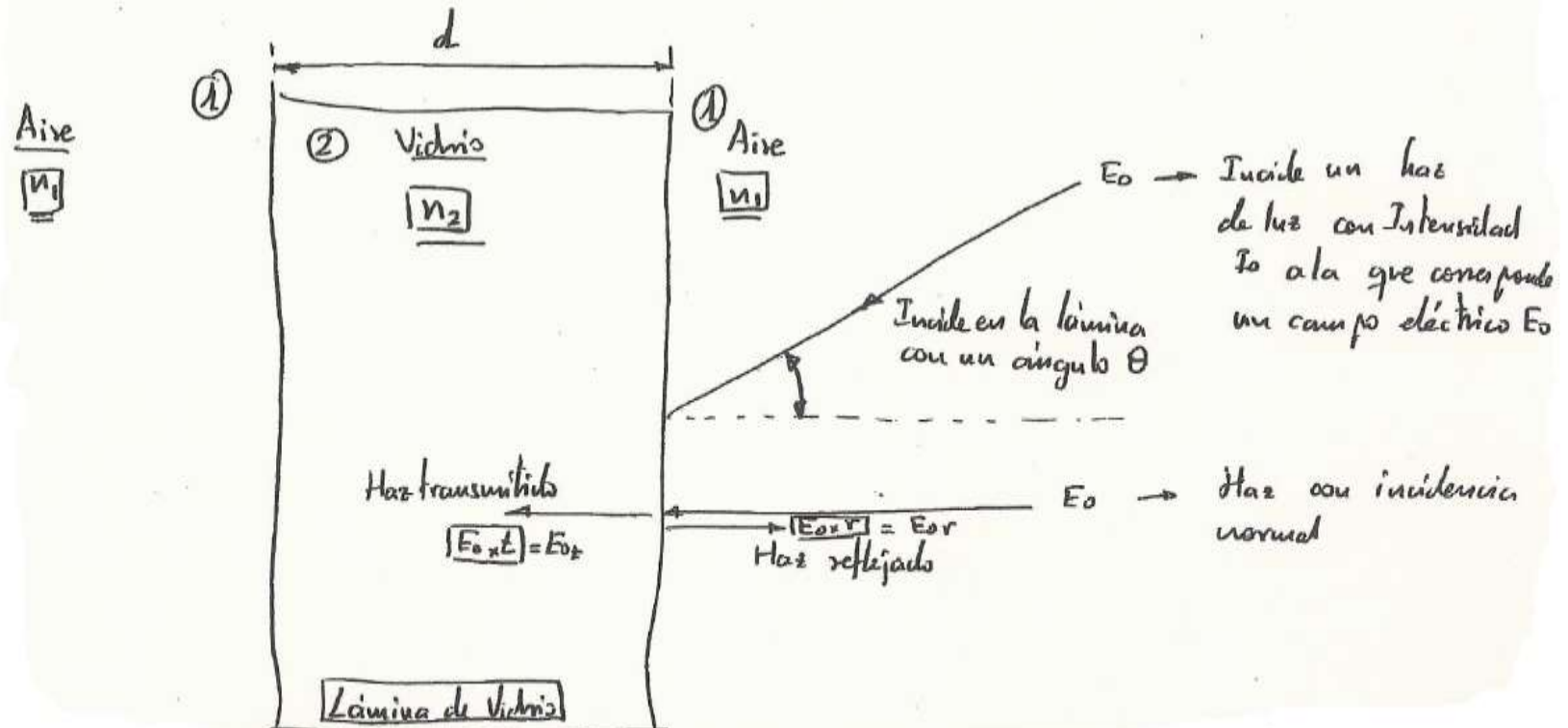
$$\boxed{\gamma = \frac{4}{\sqrt{F}}}$$

ANEXO: Interferometría de Fabry-Perot

Interferometría de ondas múltiples o interferometría de Fabry-Perot.

① CONSIDERACIONES PARA SU IMPLEMENTACION

- Tenemos una lámina de vidrio en contacto con el aire de índice de refracción: $n_1 = 1$ y cuyo espesor es "d" con índice de refracción: $n_2 (\approx 1.4)$



② DEFINICION DE LOS COEFICIENTES DE REFLEXION Y DE TRANSMISION

① Coeficiente de (Incidencia Normal): ① Aire-Lámina (Vidrio): $r = \frac{E_{or}}{E_o} = \frac{n_1 - n_2}{n_1 + n_2}$
Reflexión

② Lámina (Vidrio)-Aire: $r' = \frac{n_2 - n_1}{n_1 + n_2} = -\frac{n_1 - n_2}{n_1 + n_2} = -r$

En consecuencia,

$$\boxed{r = -r'}$$

Los coeficientes que relacionan los coeficientes de reflexión del campo eléctrico son inversos (con incidencia normal).

No obstante, como la Intensidad Lumínica (W) o Irradiancia ($\frac{W}{m^2}$) es proporcional al campo eléctrico tenemos: $I \propto \langle E^2 \rangle$

$$R_1 = r^2$$

$$R_2 = r'^2 = (-r)^2 = r^2$$

Por tanto los coeficientes de reflexión para intensidad de luz son: $R_1 = R_2 = R = r^2$

⑥ Coeficiente de Transmisión (Incidencia Normal): ① Aire-Lámina (Vidrio): $t = \frac{E_{ot}}{E_o} = \frac{2n_1}{n_1 + n_2}$

② Lámina-Aire: $t' = \frac{2n_2}{n_1 + n_2}$

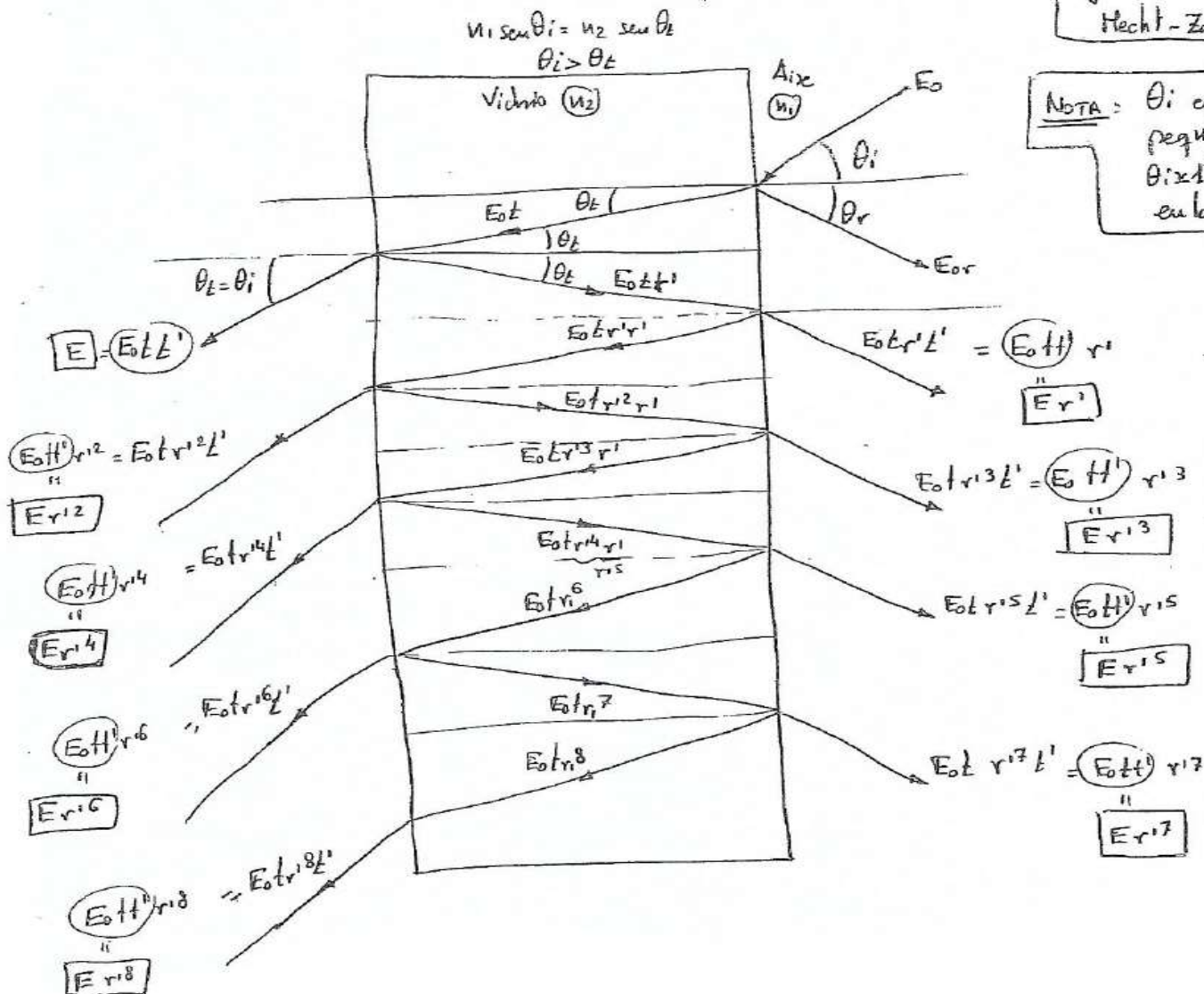
Estos coeficientes son distintos

Una vez obtenidos los coeficientes de reflexión y transmisión vamos a ver cómo se obtienen las interferencias por ondas múltiples en una lámina de vidrio

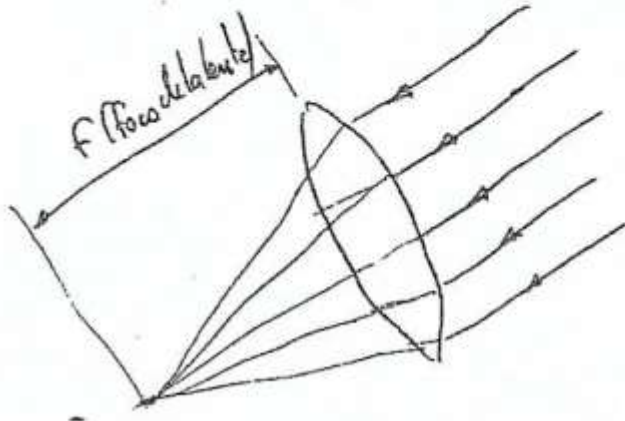
③ OBTENCIÓN DE UN SISTEMA DE ONDAS MÚLTIPLES

Según la Fig. 9.40
Hecht-Zajac

NOTA: θ_i es muy
pequeño
 $\theta_i \approx 1^\circ$ no como
en la Figura



Vamos a estudiar las ondas transmitidas llamando $E_{0t}' = E$
y su interferencia se va a localizar en el infinito, que es equivalente
al foco de una lente (f). Por tanto tenemos:



$$E_{0t}' = E$$

$$E_{0t}' r^{i2} = E r^{i2}$$

$$E_{0t}' r^{i4} = E r^{i4}$$

$$E_{0t}' r^{i6} = E r^{i6}$$

$$E_{0t}' r^{i8} = E r^{i8}$$

Con un desfase entre los
2 campos que hemos introducido
por la inclinación θ_i .

Este desfase vale δ

Desfase δ

$$\text{Siendo } \delta = \frac{2\pi}{\lambda} (r_1 - r_2) = \frac{2\pi}{\lambda} \times \underbrace{2d n_z \times \cos \theta_z}_{r_1 - r_2}$$

$\theta_z = 0^\circ$ en incidencia normal.

ó $\theta_z \approx 0^\circ$ en incidencia cuasinormal $\rightarrow \cos \theta_z \approx 1$

Por tanto, el desfase entre cada 2 ondas es:

$$\delta = \frac{2\pi}{\lambda} \times 2d n_2, \text{ para } n_2 = n, \text{ índice del vidrio}$$

$$\boxed{\delta = \frac{2\pi}{\lambda} \times 2dn}$$

④ CALCULO DEL SUMATORIO DE CAMPOS ELECTRICOS O INTERFERENCIA DE ONDAS MULTIPLES EN EL PUNTO P

Si suponemos

$$E = \bar{E} e^{j(Kr - \omega t)}$$

$$E = \bar{E} e^{j\theta}$$

⬇
Fase

$$= \bar{E} \underbrace{e^{jKr}}_{\text{Variación con la distancia}} \times \underbrace{e^{-j\omega t}}_{\text{Variación con el tiempo}}$$

Variación
con la
distancia

Variación
con el tiempo

$$E_{0t} = \vec{E} e^{-j\omega t} = E \rightarrow \text{desfase } 0^\circ \rightarrow e^{jkr} = e^{j0} = 1$$

$$E_{1t} = \vec{E} e^{-j\omega t} \times r^{1/2} \times e^{+j\delta}$$

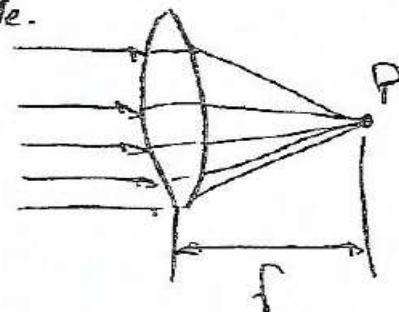
Atenuación desfase

$$E_{2t} = \vec{E} e^{-j\omega t} \times r^{1/4} \times e^{+j2\delta}$$

$$E_{3t} = \vec{E} e^{-j\omega t} \times r^{1/6} \times e^{+j3\delta}$$

$$E_{4t} = \vec{E} e^{-j\omega t} \times r^{1/8} \times e^{+j4\delta}$$

La suma del campo eléctrico en el infinito corresponde al punto P de la lente.



Por tanto, el campo eléctrico en el punto P vale:

$$E_P = \vec{E} \cdot e^{-j\omega t} \left(1 + r^{1/2} e^{j\delta} + r^{1/4} e^{+j2\delta} + r^{1/6} e^{+j3\delta} + r^{1/8} e^{+j4\delta} + \dots \right)$$

Sabemos también que $e^{j\delta} = \cos \delta + j \sin \delta$

En consecuencia, tenemos

$$E_p = E \left(\underbrace{1 - r'^2 \cos \delta + r'^4 \cos 2\delta + r'^6 \cos 3\delta + r'^8 \cos 4\delta + \dots}_{\text{Parte Real}} + j \underbrace{(r'^2 \sin \delta + r'^4 \sin 2\delta + r'^6 \sin 3\delta + r'^8 \sin 4\delta + \dots)}_{\text{Parte Imaginaria}} \right)$$

Para el cálculo de la parte real y la parte imaginaria sabemos

$$\frac{1}{1+x} \Big|_{-1 < x < 1} = 1 - x + x^2 - x^3 + x^4 - \dots$$

$$\frac{1}{1 + \underbrace{(-r'^2 e^{j\delta})}_x} \Rightarrow \boxed{\text{Como } r'^2 < 1, \quad x < 1}$$

$$= 1 - \frac{(-r'^2 e^{j\delta})}{x} + \frac{r'^4 e^{j2\delta}}{x^2} - \frac{(-r'^6 e^{j3\delta})}{x^3} + \frac{r'^8 e^{j4\delta}}{x^4} + \dots$$

Lo que tenemos \Rightarrow

Sabemos también:

$$\frac{1}{1 - r'^2 e^{j\delta}} = \frac{1}{1 - r'^2 e^{j\delta}} \times \frac{1 - r'^2 e^{-j\delta}}{1 - r'^2 e^{-j\delta}} = \frac{1 - r'^2 e^{-j\delta}}{1 - r'^2 (e^{j\delta} + e^{-j\delta}) + r'^4}$$

$$e^{\pm j\delta} = \cos \delta \pm j \sin \delta$$

$$e^{j\delta} = \cos \delta + j \sin \delta$$

$$e^{-j\delta} = \cos \delta - j \sin \delta$$

$$\frac{e^{j\delta} + e^{-j\delta}}{2} = \cos \delta \quad \cos \delta = \frac{e^{j\delta} + e^{-j\delta}}{2}$$

$$\frac{1}{1 - r'^2 e^{j\delta}} = \frac{1 - r'^2 \cos \delta + j r'^2 \sin \delta}{1 - r'^2 2 \cos \delta + r'^4} = \frac{1 - r'^2 \cos \delta}{1 - r'^2 2 \cos \delta + r'^4} + j \frac{r'^2 \sin \delta}{1 - r'^2 2 \cos \delta + r'^4}$$

Por tanto, Parte Real:

$$\frac{1 - r'^2 \cos \delta}{1 - r'^2 2 \cos \delta + r'^4} = 1 + r'^2 \cos \delta + r'^4 \cos 2\delta + r'^6 \cos 3\delta + r'^8 \cos 4\delta + \dots$$

Parte Imaginaria: $\frac{r'^2 \sin \delta}{1 - r'^2 2 \cos \delta + r'^4} = r'^2 \sin \delta + r'^4 \sin 2\delta + r'^6 \sin 3\delta + r'^8 \sin 4\delta + \dots$

⑤ CALCULO DE LA INTENSIDAD OPTICA EN EL PUNTO P

Como nos interesa la intensidad óptica transmitida tenemos:

$$I = \langle E^2 \rangle = \langle E_P E_P^* \rangle$$

$$(x+jy)(x-jy) = x^2 + y^2$$

Suma de los
cuadrados de la
parte real y de
la parte imaginaria.

Por tanto:

$$I_P = E^2 \left[\frac{(1 - r'^2 \cos \delta)^2 + (r'^2 \sin \delta)^2}{(1 - r'^2 2 \cos \delta + r'^4)^2} \right]$$

$$I_P = E^2 \left[\frac{1 - 2r'^2 \cos \delta + r'^4 \cos^2 \delta + r'^4 \sin^2 \delta}{(1 - r'^2 2 \cos \delta + r'^4)^2} = 1 \right]$$

$$\left[I_P = E^2 \left[\frac{1 - \cancel{2r'^2 \cos \delta} + r'^4}{(1 - 2r'^2 \cos \delta + r'^4)^2} \right] = \frac{E^2}{1 - r'^2 2 \cos \delta + r'^4} \right] \quad (1)$$

Expresión 9.32 del Libro
de Óptica (Hecht - Zajac)

Por otro lado, tenemos también:

$$\begin{aligned}
 1 - r'^2 2 \cos \delta + r'^4 &= 1 - r'^2 2 \cos \delta + r'^4 - 2r'^2 + 2r'^2 \\
 &= 2r'^2 (1 - \cos \delta) + 1 - 2r'^2 + r'^4 \\
 &= 2r'^2 (1 - \cos \delta) + (1 - r'^2)^2 \\
 &\quad \left(\begin{aligned} 1 + \cos \delta &= 2 \cos^2 \frac{\delta}{2} \\ 1 - \cos \delta &= 2 \sin^2 \frac{\delta}{2} \end{aligned} \right)
 \end{aligned}$$

$$1 - r'^2 2 \cos \delta + r'^4 = 4r'^2 \sin^2 \frac{\delta}{2} + (1 - r'^2)^2$$

Donde la Ecuación (1) para I_p se transforma en:

$$\bar{I}_p = \frac{E^2}{(1 - r'^2)^2 + 4r'^2 \sin^2 \frac{\delta}{2}} \quad \left| \begin{aligned} &\text{Para } \frac{\delta}{2} = 0, \pi, 2\pi \text{ se anula} \\ &\text{ó bien para } \delta = 0, 2\pi, 4\pi \end{aligned} \right.$$

En consecuencia, la Expresión para I_{max} resultante es:

$$I_{max}|_{0, 2\pi, 4\pi} = \frac{E^2}{(1-r'^2)^2}$$

Siendo por tanto:

$$I_p = \frac{\frac{E^2}{(1-r'^2)^2}}{1 + \underbrace{\frac{4r'^2}{(1-r'^2)^2}}_F \sin^2 \frac{\delta}{2}} = \frac{I_{max}}{1 + F \sin^2 \frac{\delta}{2}}$$

En donde, $I_{max} = \frac{E^2}{(1-r'^2)^2}$ y $F \equiv \text{Finesse} = \left[\frac{2r'}{1-r'^2} \right]^2$

Finalmente, tenemos:

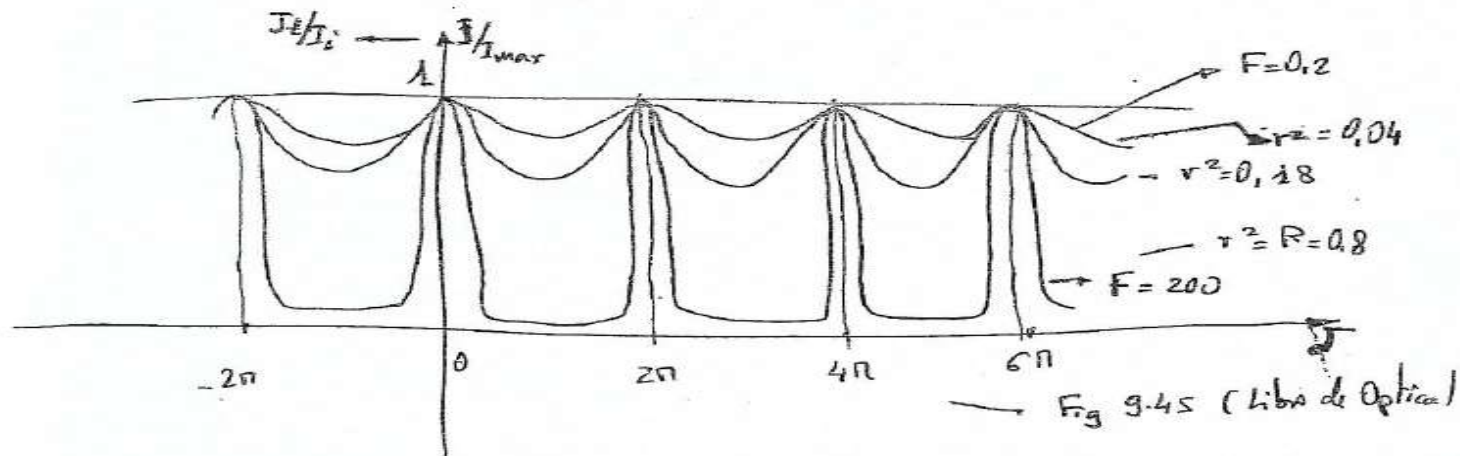
$$\frac{I_p}{I_{max}} = \frac{1}{1 + F \sin^2 \frac{\delta}{2}}$$

Expresión (9.40) del
Libro Óptica (Hecht-Zajac)

Expresión de Airy
muy utilizada en fotónica.

El perfil interferencial que se obtiene es por tanto (Función de Airy):

a) Perfil interferencial por transmisión (Función de Airy)



b) Perfil interferencial por reflexión

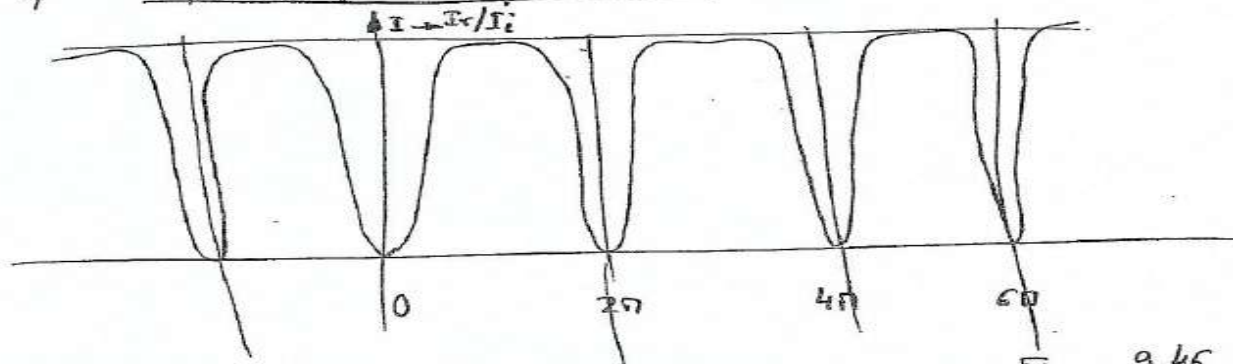


Fig. 9.46 (Libro de Óptica)

Es de notar que estas 2 funciones son complementarias, es decir, su suma es igual a 1.